

李 炯 基<sup>○</sup>  
河 泓 坤  
尹 炳 道

釜山開放大學 電子工學科  
東義大學校 電子工學科  
中央大學校 電氣工學科

1. 序 論

直流電動機의 速度制御系는 일반적으로 非線形素子를 갖는 歸還制御系로 數學的인 解析이 복잡하고 等價回路의인 취급이 어려워 非線形素子의 非線形性을 準近似法에 기초를 둔 記述函數로 解析하여 等價線形化모델로 취급하고 있다.<sup>1,2)</sup>  
특히 非線形素子에 2개의 正弦波가 동시에 인가될 때 雙入力記述函數(DIDF: Dual Input Describing Function)로 解析되고 있으며 復素 DIDF(Complex DIDF)의 合成法도 연구되고 있다.<sup>3)</sup>

이 CDIDF로 記述되는 非線形補償器는 Nyquist 臨界點  $-1+j0$ 을 다른 점으로 이동시키고 實數軸에만 존재하는 軌跡의 中心을 새로운 軸으로 이동시켜 주므로 系의 非安定度, 低速度應答, 外亂에 의한 速度變動을 개선하는데 利用되고 있다.<sup>4)</sup>

本 論文에서는 CDIDF의 合成理論을 이용하여 非線形補償器의 構成法을 제시하고 구성하였다.

이 非線形補償器로 Digital比例積分制御系의 出力을 補償하여 그 實效性을 實驗的으로 확인하였다.

2. 理 論

2-1. CDIDF에 의한 補償系의 構成

그림1은 CDIDF로 記述된 非線形補償器(Nh) 操作量을 補償하여 直流電動機의 速度를 補償하는 制御系의 構成圖이다.

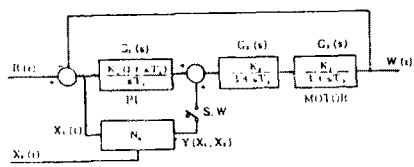


그림1. 操作量을 補償하기 위한 制御系

그림1의 구성도에서 Nh에 設定速度 R(t)와 直流電動機의 速度應答 W(t)의 誤差 X1(t)와 제2의 正현파 전압 X2(t)를 인가하여 操作量을 補償하게 되며 스위치 S.W는 補償前.後의 速度應答特性을 얻기 위한 것이다.

2-2. DIDF에 의한 非線形素子의 變換理論

1價이고 奇函數의 特性을 갖는 非線形素子에 그림2와 같이 2개의 正현파

$$X_1(t) = h \sin \omega_1 t = h \sin \varphi_1 \quad (\varphi_1 = \omega_1 t - \pi/6 \le \varphi_1 \le \pi/6)$$

$$X_2(t) = l \sin(\omega_2 t + \phi) = l \sin \varphi_2 \quad (\varphi_2 = \omega_2 t + \phi, -\pi/2 \le \varphi_2 \le \pi/2)$$

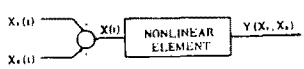


그림2. 2개의 正현파입력신호를 갖는 非線形素子

가 인가될 때 非線形素子의 入力 X(t)는 X1(t)+X2(t)로 되고  $\omega_1$  과  $\omega_2$  의 비  $\omega_2/\omega_1$  이

非有理數일 때 X1(t)에 관한 雙入力記述函數 Nhp는 X1(t)과 X2(t)의 진폭h와 l에 관계하는 實數의 函數로 다음과 같이 定義된다.

$$N_{hp}(h, l) = \frac{4}{\pi^2 h^2} \int_0^{\pi} \int_0^{2\pi} \frac{X_1 Y(X_1, X_2)}{\sqrt{(h^2 - X_1^2)} \sqrt{(l^2 - X_2^2)}} \partial X_1 \partial X_2 \quad (3)$$

式(3)에 의해서 그림2의 非線形素子は 그림3과 같이 DIDF로 變換된다. DIDF의 出力  $Y(x_1, x_2)$ 는

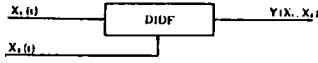


그림3. DIDF의 回路

$X_1(t)$   $X_2(t)$ 의 函數로 다음과 같이 定義된다.

$$Y(x_1, x_2) = \frac{1}{x_1} \frac{\partial^2}{\partial x_1 \partial x_2} \int_0^{x_1} \int_0^{x_2} \frac{r^3 s N_{hp}(r, s)}{(x_1^2 - r^2)^{1/2} (x_2^2 - s^2)^{1/2}} \partial r \partial s \quad (4)$$

2-3. CDIDF의 合成理論

제2의 正현파  $Y_2(t)$ 가 진폭  $l$ 에 종속하는 CDIDF로 合成하기 위해서 한 例로 다음의 DIDF를 생각한다.

$$N_h(l) = N_{hp}(l) + j N_{hg}(l) = K_p l^2 + j K_g l^2 \quad (5)$$

式(5)를 합성하기 위한 합성도와 Vector圖는 그림4의 (a), (b)이다.

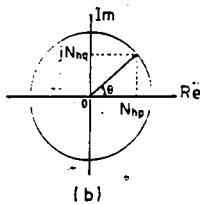
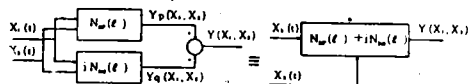


그림4. CDIDF의 合成과 Vector圖

式(5)의  $N_{hp}$ 을 式(4)에 代入하면 出力  $Y(x_1, x_2)$ 는

$$Y(x_1, x_2) = 2 K_p x_1 x_2^2 \quad (x_1 \in (-h, h), x_2 \in (-l, l)) \quad (6)$$

이다. 式(6)은 CDIDF의 實數部의 出力이고 虛數部의 出力은 式(6)에  $K_p$  대신에  $K_g$ 를 곱하여 位相을  $90^\circ$  이동시키면 된다.

2-4. 非線形補償器에 의한 操作量補償

그림1의 制御系에서 比例積分制御器, 1次遲延回路,

直流電動機의 周波數應答  $G_c(j\omega)$ 는

$$G(j\omega) = G_1(j\omega) G_2(j\omega) G_3(j\omega) = x + jy \quad (7)$$

이고 여기서  $x$ 와  $y$ 는

$$x = \frac{K_1 K_2 K_3 \{ T_1 T_2 T_3 \omega^3 - (T_1 - T_2 - T_3) \omega \}}{T_1 \omega (1 + T_2^2 \omega^2) (1 + T_3^2 \omega^2)}$$

$$y = \frac{K_1 K_2 K_3 \{ 1 + (T_1 T_2 - T_2 T_3 + T_3 T_1) \omega^2 \}}{T_1 \omega (1 + T_2^2 \omega^2) (1 + T_3^2 \omega^2)} \quad (8)$$

이다. 그림1의 制御系에서 補償前 系の 傳達函數  $F_0$ 는

$$F_0 = \frac{G}{1 + G} = M_0 \exp(-j\theta_0) \quad (9)$$

이고  $M_0$ 와  $\theta_0$ 는

$$M_0 = \frac{\sqrt{x^2 + y^2}}{\sqrt{(1+x)^2 + y^2}} \quad (10)$$

$$\theta_0 = \tan^{-1} \left( \frac{y}{x} \right) - \tan^{-1} \left( \frac{y}{1+x} \right)$$

이다. 式(10)에서  $x$ 와  $y$ 의 關係는

$$(x - x_0)^2 + y^2 = R_0^2 \quad (11)$$

$$\left( x_0 = \frac{M_0^2}{1 - M_0^2}, R_0 = \frac{M_0}{1 - M_0^2} \right)$$

이다.

式(11)은 中心이  $x_0$ 이고 半徑이  $R_0$ 인 圓의 방정식이며 中心과 半徑이  $M_0$ 에 關係하는 것을 알 수 있다. 補償後의 傳達函數  $F_1$ 은

$$F_1 = \frac{GN_1}{1 + GN_1} = M_1 \exp(j\theta_1) \quad (12)$$

$$(N_1 = 1 + N_h = \lambda_1 + j\mu_1)$$

이고  $\lambda_1$ 과  $\mu_1$ 은

$$\lambda_1 = 1 + \frac{T_1 \omega}{K_1 (1 + T_1^2 \omega^2)} (N_{hp} T_1 \omega - N_{hg}) \quad (13)$$

$$\mu_1 = \frac{T_1 \omega}{K_1 (1 + T_1^2 \omega^2)} (N_{hg} T_1 \omega + N_{hp})$$

이고  $M_1$ 과  $\theta_1$ 은

$$M_1 = \frac{\sqrt{(\lambda_1 x - \mu_1 y)^2 + (\mu_1 x + \lambda_1 y)^2}}{\sqrt{(1 + \lambda_1 x - \mu_1 y)^2 + (\mu_1 x + \lambda_1 y)^2}} \quad (14)$$

$$\theta_1 = \tan^{-1} \left( \frac{\mu_1 x + \lambda_1 y}{\lambda_1 x - \mu_1 y} \right) - \tan^{-1} \left( \frac{\mu_1 x + \lambda_1 y}{1 + \lambda_1 x - \mu_1 y} \right)$$

이다.

그리고 式(14)에서  $x$ 와  $y$ 의 關係식은

$$(x - x_1)^2 + (y - y_1)^2 = R_1^2 \quad (15)$$

이고  $x_1, y_1, R_1$  은

$$x_1 = \frac{\lambda_1 N_1^2}{(1 - M_1^2)(\lambda_1^2 + \mu_1^2)}$$

$$y_1 = \frac{-\mu_1 M_1^2}{(1 - M_1^2)(\lambda_1^2 + \mu_1^2)}$$

$$R_1 = \frac{M_1}{(1 - M_1^2)\sqrt{(\lambda_1^2 + \mu_1^2)}}$$

이다. 식(15)는 중심이  $(x_1, y_1)$ , 반경이  $R_1$ 인 원의 방정식이다. 그리고 식(16)에서

$$m_1 = \frac{y_1}{x_1} = -\frac{\mu_1}{\lambda_1} = \frac{T_1 \omega (K_q T_1 \omega + K_p) \ell^2}{K_1 (1 + T_1^2 \omega^2) + T_1 \omega (K_p T_1 \omega - K_q) \ell^2} \quad (17)$$

으로 중심은 기울기  $m_1$ 인 직선상에 존재하게 되며 補償前  $M_0$ 의 궤적은 중심이 실수축에만 존재하지만 補償後  $M_1$ 의 궤적은 식(17)에 의해서 실수축이 회전하게 되므로 위상여유가 크게 되며 過渡應答 狀態를 줄일 수 있다. 그리고 Nyquist 臨界點  $-1+j0$ 은

$$P_{c1} = -\frac{1}{N_1} = -\frac{\lambda_1}{\lambda_1^2 + \mu_1^2} + j \frac{\mu_1}{\lambda_1^2 + \mu_1^2} \quad (18)$$

로 이동하게 되므로 系의 安定度를 향상시킨다.

### 3. 實驗 및 考察

CIDIF로 기술되는 非線形補償器로 그림1의 Digital 速度制禦系에 操作量을 補償하여 直流電動機의 速度應答를 補償하였다.

操作量을 補償하는  $\lambda_1$  과  $\mu_1$  은 식(13)에서 比例積分制禦器의 利得  $K_1$ , 時定數  $T_1$ , 非線形補償器의 實數部  $N_{hp}$ 와 虛數部  $N_{hq}$ , 그리고 角周波數  $\omega$ 에 관계하게 되므로 전 系의 利得과 操作量이 동시에 補償되게 된다. 지금  $K_1$ 이 0.2,  $T_1$ 이 0.02[sec],  $K_2$ 가 1,  $T_2$ 가 0.33[sec],  $\omega$ 가 314[rad/sec]일 때  $K_p$ 는 0.360,  $K_q$ 가 1.673로 고정시키고  $\ell$ 을 변화시켰을 때  $M_1$  궤적과 直流電動機의 速度應答特性曲線을 그림5(a)와 (b)에 보인 것이다.

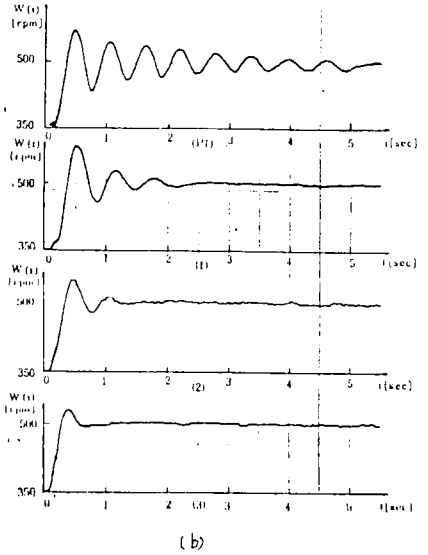
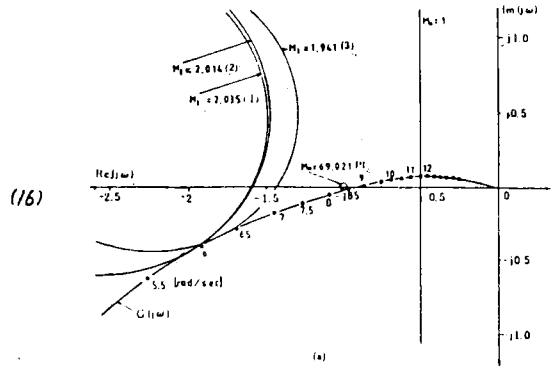


그림5.  $\ell$ 을 變化시켰을 때 操作量補償後  $M_1$  軌跡 (a)와 直流電動機의 速度應答特性曲線 (b)

그림5의 (a)에서  $M_1$  軌跡의 크기  $M_1$ , 中心(x,y)을 식(16)으로, Nyquist 臨界點  $P_c$ 는 식(18)로 계산한 결과를 보인 것이다.

표1.  $M_1$  軌跡의 크기 및 中心

$\ell$	$M_1$	$x_1$	$y_1$	$R_1$	$P_{c1}$
0.360	1.673	0.65	2.047	-0.431	-0.124 + j0.841
0.360	1.673	0.70	2.014	-0.431	-0.255 + j1.163
0.360	1.673	0.75	1.941	-2.214	-0.380 + j1.024

Nyquist 臨界點이 다른점으로 이동하게 되므로 系의 安定度가 향상되므로 그림6의 (b)에서  $\phi_i$  적은 곡선(1)이  $M_1$ 이 크기 때문에 過渡應答狀態를 보이고 있지만  $\ell$ 이 큰 곡선(3)이 곡선(PI)의 過渡應答狀態를 改善시켰다. 식(17)에서  $\ell \rightarrow 0$  일 때  $m_1$

은 0이므로 制御系는 比例積分制御系로 동작하고  $\beta \rightarrow \infty$ 일때는  $-(k_f T_i \omega + k_p) / (k_p T_i \omega - k_f)$ 이므로 比例積分制御器의 時定數, 角周波數, 非線形補償器의 實數部와 虛數部의 利得으로 결정된다.

4. 結 論

제2 正弦波入力신호의 振幅에만 관계하는 非線形補償器를 구성하여 比例積分制御系에 操作量을 구성한 非線形補償器로 補償할때 直流電動機의 速度應答改善에 관해서 M 軌跡을 利用하여 理論적으로 규명하였고 實驗을 통해서 다음의 結論을 얻었다.

1. CDIF로 記述된 非線形補償器가 操作量을 補償해 주므로써 系 전체의 利得을 변화시키고,
2. M 軌跡의 中心과 Nyquist臨界點  $-1 + j0$  이 CDIF의 實數部, 虛數部, 比例積分制御器의 利得과 時定數로 결정되는 값만큼 회전하게 되므로
3. 利得 및 位相餘裕가 커져 系의 安定度가 향상되고 速度應答特性의 過渡應答狀態를 억제한다.

참 고 문 헌

- (1) Parrell Williamsin "Describing Function Analysis and Oscillation in Non-linear Network" Int.J.Contr., vol.24, no.2, pp.283-293, 1976
- (2) Richard K.Miller etal "On the Stability of Limit Cycles in Nonlinear Feedback System; Analysis using Describing Functions "IEEE Trans, Circuit and Syst., vol.CAS-30 NO 9, pp.684-696,1983
- (3) A.Isidori and A.Ruberti "On the Synthesis of linear input-output responses for nonlinear System" Systems & Control Letters 4 pp.17-22 1984
- (4) E.C.Servetas "A Non-linear Electronic Compensator for Automatic Control Systems" IEEE Trans. on Ind.Elec and Contr. Ins., vol IECI-22, No.2,pp.201-207. 1975